



تحلیل چندمتغیره خشکسالی‌های هواشناسی در ایران با استفاده از شاخص کمبود توأم (JDI)

ذبیح الله خانی تمیله^۱، حسین رضایی^{۲*}، رسول میرعباسی نجف‌آبادی^۳

تاریخ دریافت: ۱۳۹۸/۱۰/۲۵

تاریخ پذیرش: ۱۳۹۹/۰۳/۲۷

چکیده

پایش و پیش‌بینی خشکسالی به عنوان یک پدیده حدی طبیعی، در مدیریت منابع آب و تولیدات کشاورزی اهمیتی ویژه دارد. هدف از مطالعه حاضر، ارزیابی خشکسالی‌های هواشناسی در گستره ایران با استفاده از شاخص کمبود توأم (JDI) و مقایسه آن با SPI^{mod} می‌باشد. برای این منظور از داده‌های بارش ماهانه ۴۱ ایستگاه هواشناسی ایران در دوره آماری ۱۹۷۱-۲۰۱۷ استفاده شد. نتایج نشان داد که شاخص SPI^{mod} تغییرات فصلی بارش را به خوبی توصیف می‌کند. چون تحلیل بر مبنای شاخص SPI^{mod} به مقیاس‌های زمانی حساس بوده و احتمال ظاهر شدن نتایج ناسازگار در پنجره‌های زمانی مختلف وجود دارد. جهت رفع این نقاطی از شاخص کمبود توأم (JDI) استفاده شد که مبتنی بر بسط توزیعی توأم از شاخص‌های SPI^{mod} با مقیاس زمانی ۱ تا ۱۲ ماهه به کمک توابع مفصل می‌باشد. نتایج کاربرست شاخص JDI نشان داد که تعداد ماههای خشک (با شاخص منفی) در مناطق غرب، شمال‌غرب و برخی استان‌های شمالی بیشتر از سایر مناطق کشور بوده است. در مرحله بعد، سه مشخصه خشکسالی شامل مدت، شدت و فاصله بین آغاز دو خشکسالی متوالی از سری زمانی JDI استخراج گردید. نتایج همبستگی بین مشخصه‌های خشکسالی حاکی از همبستگی بالای ۰/۷ بین آن‌ها بود. جهت تحلیل چندمتغیره مشخصه‌های خشکسالی، برآش ۹ تابع مفصل نیز بررسی گردید که از میان آن‌ها، تابع فارلی- گامبل- مورنگسترن به عنوان گزینه برتر برای بسط توزیع سه‌متغیره جهت پایش خشکسالی در ایستگاه‌های مطالعاتی تعیین شد.

واژه‌های کلیدی: تابع مفصل، خشکسالی، توزیع توأم، روش تودرتو، شاخص کمبود توأم

مقدمه

اقلیمی و هیدرولوژیکی محاسبه می‌گردد (Palmer, 1968). یکی از شاخص‌های پرکاربرد، شاخص بارش استاندارد شده (SPI) است که توسط McKee et al., (1993) معرفی شد. شاخص SPI برای هر محل بر اساس بارش بلندمدت در مقیاس‌های زمانی مدنظر قابل محاسبه است. علیرغم اینکه SPI به طور گسترده به عنوان نوعی ابزار رایج برای ارزیابی خشکسالی پذیرفته شده است، ولی محدودیت‌هایی نیز دارد (Mishra and Singh, 2010). برای برطرف کردن محدودیت‌های موجود در شاخص SPI (Kao and Govindaraju, 2010) شاخص بارش استاندارد شده اصلاحی (SPI^{mod}) را پیشنهاد کردند. برخلاف

خشکسالی یک پدیده محیطی است که همواره خسارات فراوانی بر اقتصاد جوامع به دنبال داشته است (Boroghani et al., 2012). برای ارزیابی شرایط رطوبتی (خشک یا تر بودن) از شاخص‌های خشکسالی استفاده می‌شود. شاخص‌های خشکسالی بر مبنای یک یا چند متغیر اقلیمی محاسبه می‌شوند. برای مثال، شاخص‌های خشکسالی پالمر

^۱دانشجوی دکترا مهندسی منابع آب، دانشکده کشاورزی و منابع

طبیعی، دانشگاه ارومیه، ارومیه، ایران

^۲استاد گروه مهندسی آب، دانشکده کشاورزی و منابع طبیعی،

دانشگاه ارومیه، ارومیه، ایران

(*)نویسنده مسئول: h.rezaie@urmia.ac.ir

^۳دانشیار گروه مهندسی آب، دانشکده کشاورزی، دانشگاه شهرکرد،

شهرکرد، ایران

نحوه ارجاع مقاله:

خانی تمیله، ذ.، رضایی، ح.، میرعباسی نجف‌آبادی، ر.، ۱۳۹۹. تحلیل چندمتغیره خشکسالی‌های هواشناسی در ایران با استفاده از شاخص کمبود توأم (JDI). نشریه هواشناسی کشاورزی، ۸(۱)، ۲۶-۳۹.

DOI: 10.22125/agmj.2020.215899.1088

Khani Temeliyeh, Z., Rezaei, H., Mirabbasi Najafabadi, R. 2020. Multivariate Analysis of Meteorological Droughts in Iran Using Joint Deficit Index (JDI). Journal of Agricultural Meteorology, 8(1), 26-39. DOI: 10.22125/agmj.2020.215899.1088

(2019) and Nazeri Tahroudi (2020) در شرق ایران، (2019) Sun et al., در حوضه رودخانه‌ای در چین و (2019) در پرتغال اشاره کرد. از جمله مطالعاتی که با استفاده از شاخص کمبود تؤام (JDI) صورت گرفته است Mirabbasi et al., (2013) می‌توان به موارد زیر اشاره کرد. (2013) پایش بلند مدت خشکسالی‌ها در ارومیه را با استفاده از شاخص JDI مورد مطالعه قرار دادند. نتایج حاصل نشان داد که ارومیه یک سلسله خشکسالی‌های بلندمدت و شدید را طی سال‌های ۱۹۹۶ تا ۲۰۱۱ تجربه کرده است. (2017) Mirabbasi et al., به تحلیل خشکسالی‌های شمال شرق ایران با استفاده از شاخص JDI پرداختند. نتایج حاصل از مطالعه آن‌ها نشان داد که تعداد ماههای خشک در منطقه مورد مطالعه، بالاخص مناطق مرطوب افزایش یافته است. (2015) Ahmadi et al., خشکسالی‌های حاشیه جنوبی دریای خزر را با استفاده از شاخص JDI بررسی کردند و نشان دادند که طی دوره ۵۰ مورد مطالعه تعداد ماههای خشک در منطقه به بیش از ۵۰ درصد رسیده است. (2019) Bazrafshan et al., به تحلیل خشکسالی در مناطق نیمه‌خشک ایران با استفاده از شاخص JDI پرداختند. نتایج آن‌ها نشان داد که شاخص JDI فراوانی وقوع خشکسالی را با دقت بالایی تخمین می‌زند، در حالی که شاخص SPI دوازده ماهه نتایج غیرمنتظره‌ای را ارائه می‌کند. مطالعات دیگری نیز با استفاده از شاخص JDI Cheraghalizadeh et al., 2016؛ Nadi et al., 2016؛ Ramezani et al., 2018 هدف از تحقیق حاضر ارزیابی خشکسالی‌های هواشناسی برای ۴۱ ایستگاه هواشناسی در ایران با استفاده از شاخص JDI طی دوره آماری ۲۰۱۷-۱۹۷۱ می‌باشد. تحلیل سه‌متغیره مشخصه‌های خشکسالی شامل شدت، مدت، فاصله بین آغاز دو خشکسالی متولی با استفاده از توابع مفصل تودرتو و شاخص JDI از نوآوری‌های این تحقیق می‌باشد.

مواد و روش‌ها

منطقه مورد مطالعه

در این پژوهش، برای تحلیل خشکسالی‌های هواشناسی از داده‌های بارش ماهانه ۴۱ ایستگاه هواشناسی ایران در یک دوره آماری ۴۷ ساله (۱۹۷۱-۲۰۱۷) استفاده شد. پس از محاسبه شاخص JDI، خصوصیات خشکسالی شامل

متداول که میانگین کلی (از ابتدای دوره آماری تا انتهای آن) را برای تفکیک دوره‌های تر و خشک در نظر می‌گیرد، در شاخص SPI^{mod} حد آستانه بر اساس میانگین ماهانه است. باید توجه داشت که در محاسبه SPI^{mod} مشابه با SPI متداول، انتخاب مقیاس‌های زمانی مختلف (۱، ۳، ۶، ... و ۲۴ ماهه) به نتایج متفاوتی منجر می‌شود. برای رفع این ایراد Kao and Govindaraju (2010) مقادیر SPI^{mod} مربوط به هر ماه با مقیاس‌های زمانی مختلف را توسط توابع مفصل با یکدیگر تلفیق کردند و نوعی شاخص تؤام را توسعه دادند. این شاخص که به شاخص کمبود تؤام (JDI) موسوم است، یک شاخص چندبعدی کمبود آب مبتنی بر احتمالات است. با استفاده از این شاخص می‌توان در یک دوره خشک مقدار بارش موردنیاز برای رسیدن به شرایط نرمال در آینده را محاسبه نمود (Mirabbasi et al., 2013). جهت تحلیل تؤام مشخصه‌های خشکسالی از توابع مفصل استفاده می‌شود که توسط Sklar (1959) برای ایجاد توزیع‌های چندمتغیره ارائه شد. این توابع برای اولین بار توسط Salvadori and De Michele (2006) برای ایجاد یک مدل دومتغیره توصیف کننده شدت و مدت رگبار بکار برده شدند. پس از آن مفهوم توابع مفصل در زمینه‌های مختلف هیدرولوژی و منابع آب از جمله Chen et al., 2012؛ Xu et al., 2010 و تحلیل چندمتغیره خصوصیات بارش (Kao and Govindaraju, 2008؛ Zhang et al., 2012) به کار گرفته شد. تحلیل خشکسالی بر اساس توابع مفصل موضوع جدیدی است که سابقه آن به سال ۲۰۰۶ بر می‌گردد (Shiau, 2006). یکی از مواردی کاربرد توابع مفصل در زمینه خشکسالی Serinaldi et al., (2009) است که از توابع مفصل در تحلیل احتمالاتی خصوصیات خشکسالی‌های جزیره سیسیل ایتالیا طی دوره ۱۹۲۱-۲۰۰۳ استفاده کردند. آن‌ها یک مدل مبتنی بر مفصل چهار بعدی از چهار مشخصه شامل طول خشکسالی، میانگین و حداقل مقادیر SPI و میانگین وسعت منطقه‌ای خشکسالی ارائه نمودند. از جمله مطالعات دیگر در زمینه تابع مفصل، می‌توان به Wang et al., (2019) Mesbahzadeh et al., (2019) Ramezani et al., (2019) در حوضه رودخانه زرد چین^۱،

^۱ Yellow River Basin

SPI^{mod} خشکسالی هواشناسی بر اساس شاخص ساختار استاندارد شده (SPI) توسط (1993) McKee et al., ارائه شده است. اگر X_w نشان دهنده کل بارش در خلال یک بازه زمانی W ماهه باشد، با برآش توزیع گامای دوپارامتری به سری زمانی X_w ، تابع توزیع تراکمی یا CDF حاشیه ای $u_w = F_{X_w}(x_w)$ به دست می‌آید سپس شاخص SPI نظریه هر مشاهده با تابع معکوس نرمال SPI یا $(u_w)^{-1} \phi$ محاسبه می‌شود. با اینکه روش محاسبه از نظر ظاهری، منطقی به نظر می‌رسد، با این حال ایراداتی نیز دارد. برای نمونه، شاخص SPI در رژیم سالانه بارش نمی‌تواند تغییرات فصلی را محاسبه کند. همپوشانی مقادیر مختلف بارش در پنجره زمانی معین (W) در طول سری زمانی ممکن است خودهمبستگی مشخصی را در طول سری $X(t)$ ایجاد کند و موجب برآش نا اُریب توزیع‌های احتمالاتی شود. برای حل این مشکلات Kao and Govindaraju (2010) پیشنهاد دادند که بارش جمع شده برای پنجره زمانی معین $X_w(t)$ بر اساس ماه پایانی گروه‌بندی شود. به بیان دیگر، برای پنجره زمانی معین، سری $X_w(t)$ به ۱۲ زیرسری بر اساس ۱۲ ماه سال تقسیم می‌شود. بنابراین، در شاخص بارش استاندارد شده اصلاحی (SPI^{mod})، $X_w(t)$ به $X_w^m(y)$ تغییر پیدا می‌کند، که m نشان گر ماه پایانی پنجره زمانی w است ($m=1$ (Jan)..... $m=12$ (Dec)) و y (۱, ۲, ..., k) تعداد کل سال‌ها است (معادله ۱).

$$X_w^{month}(g) = X_w(12(g-1)+1) = X_w(t) \quad (1)$$

که g شاخص سال و m شاخص ماه و برابر ۱ (ژانویه)، ۲ (فوریه)، ۱۲ (دسامبر) و t شاخص زمان و برابر $(g-1)+m$ می‌باشد. به طور مثال، $(y) X_w^{10}$ نشان گر سری در مقیاس زمانی ۵ ماهه (از ماه مه تا اکتبر) مختوم به ماه اکتبر است. در انجام این کار نمونه‌ها در هر مجموعه دیگر، درجه خودهمبستگی بین نمونه‌ها به شدت کاهش خواهد یافت. نکته اصلی در محاسبه SPI^{mod} برآش توزیع احتمالاتی مناسب به سری‌های $(y) X_w^m$ است. با برآش توزیع‌های جداگانه برای هر گروه یعنی

شدت، مدت، فاصله بین آغاز دو خشکسالی متوالی استخراج شدن. خصوصیات خشکسالی در شکل ۱ و موقعیت ایستگاه‌های مورد مطالعه در شکل ۲ آورده شده است. پس از تعیین تابع توزیع حاشیه‌ای هر کدام از این خصوصیات، توزیع سه‌متغیره آن‌ها با استفاده از توابع مفصل تودر تو ایجاد گردید. برای این منظور برآش توابع مفصل کلایتون، علی- میخائیل- حق، فارلی- گامبل- مورنگسترن، فرانک، گلامبوس، گامبل- هوگارد، پلاکت، فیلیپ- گامبل و جوئی برای ایجاد توزیع سه‌متغیره مورد آزمون قرار گرفت و سپس بهترین تابع مفصل بر اساس آزمون‌های نیکوئی برآش مشخص شد که در ادامه جزئیات آن ارائه می‌گردد. برای انجام مراحل مذکور کدهای مورد نیاز در محیط نرم‌افزار متلب نوشته شد.

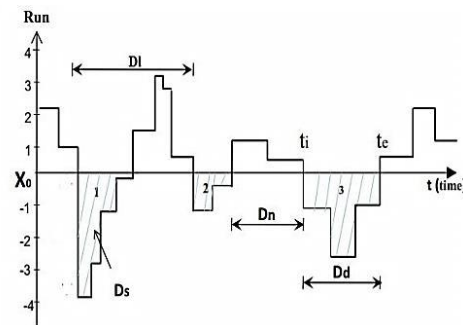


Figure 1- Drought characteristics, Ds: Drought severity, Dn: None dry spell, Dd: Drought duration, Di: Inter-arrival time

شکل ۱- مشخصه‌های خشکسالی: Ds: شدت خشکسالی، Dn: دوره غیرخشک، Dd: مدت خشکسالی، Di: فاصله بین آغاز دو خشکسالی متوالی

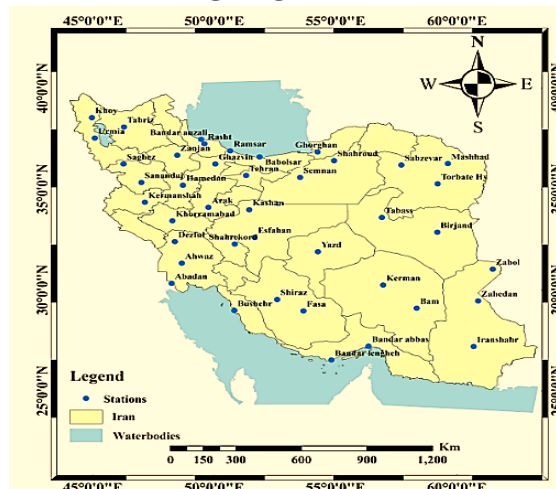


Figure 2- Location of the studied stations

شکل ۲- موقعیت ایستگاه‌های مورد مطالعه

احتمال مقادیر مختلف q اصطلاحاً تابع توزیع مفصل (K_c) نامیده می‌شود که به صورت معادله ۴ است.

$$K_c = P[C_n(u_1, \dots, u_{12}) \leq q] \quad (4)$$

تابع توزیع K_c می‌تواند ابعاد داده‌ها را به یک بعد کاهش دهد. همانند تئوری SPI، می‌توان شاخص استاندارد شده کمبود توأم را از تابع توزیع مفصل (K_c) با معادله ۵ به دست آورد.

$$JDI = \varphi^{-1}(K_c(q)) = \varphi^{-1}(P[C_n(u_1, \dots, u_{12}) \leq q]) \quad (5)$$

که در آن، JDI شاخص کمبود توأم تجربی می‌باشد و $\varphi^{-1}(K_c(q))$ معکوس نرمال است. مقادیر مثبت $JDI (0.5 < K_c(q) < 1)$ نشان‌دهنده شرایط ترسالی، مقادیر منفی ($K_c(q) < 0$) نشان‌دهنده شرایط خشک می‌باشد و JDI برابر صفر ($K_c(q) = 0$) نشان‌دهنده شرایط نرمال است.

تابع مفصل

یک مفصل تابعی است که توابع توزیع حاشیه‌ای تکمتغیره را برای تشکیل یک تابع توزیع چندمتغیره، به هم پیوند می‌دهد. اگر X و Y دو متغیر تصادفی وابسته مانند شدت و مدت خشکسالی، با توزیع دو متغیره F_{XY} و توابع حاشیه‌ای F_X و F_Y باشند، آنگاه تابع مفصل دو متغیر X و Y به صورت معادله ۶ تعریف می‌شود (Nelsen, 2006).

$$F_{xy}(x, y) = C(F_x(x), F_y(y)) \quad (6)$$

به بیان دیگر، برای توابع توزیع مفروض و پیوسته F_X و F_Y تابع مفصل C ، تابع توزیع F_{XY} یک تابع توزیع دو متغیره با توزیع‌های حاشیه‌ای F_X و F_Y خواهد بود.

توزیع حاشیه‌ای

پس از استخراج مقادیر مشخصه‌های شدت، مدت و فاصله بین آغاز دو خشکسالی متوالی، برای ایستگاه‌های مورد مطالعه با استفاده از شاخص JDI، توزیع‌های تکمتغیره مناسب در هیدرولوژی نظیر تکمتغیره لجستیک، نرمال، نمایی، پارت‌تو تعمیم‌یافته، پارت‌تو بی‌نهایت تعمیم‌یافته، گاما، ویبول، مقادیر حدی تعمیم‌یافته (GEV)، پیرسون تیپ سه و لوگ پیرسون بر مشخصه‌های مذکور برآش داده شد. از آزمون اندرسون-دارلینگ برای ارزیابی نیکویی برآش توزیع‌های حاشیه‌ای استفاده شد.

$$u_w^m = F_{x_w^m}(X_w^m), w = 1, 2, \dots, 12, m = 1(\text{Jan}) \dots 12(\text{Jan})$$

Mی‌تواند با تبدیل u_w^m به متغیر نرمال استاندارد به صورت معادله ۲ محاسبه شود.

$$SPI_m^w = \varphi^{-1}(u_w^m) \quad (2)$$

که در آن، $\varphi^{-1}(u_w^m)$ تابع معکوس توزیع نرمال استاندارد با میانگین صفر و انحراف معیار یک است.

شاخص کمبود توأم (JDI)

بر طبق نظر Kao and Govindaraju, (2010) برای محاسبه شاخص JDI باید ابعاد مدل مفصل انتخاب شده به اندازه کافی بزرگ باشد تا بتواند ساختار وابستگی و پیچیدگی خشکسالی را توصیف کند. بر این اساس، ایشان ۱۲ پنجره زمانی ($W=1, 2, \dots, 12$) را انتخاب کردند. به همین دلیل به تابع مفصل با ۱۲ بعد جهت ایجاد توزیع توأم ۱۲ بعدی از توزیع‌های حاشیه‌ای تکمتغیره برای هر پنجره زمانی ۱۲ u_w^{month} , $w=1, \dots, 12$ نیاز است. با توجه به پیچیدگی زیاد تابع مفصل ۱۲ بعدی، برای محاسبه شاخص JDI از تعریف مفصل تجربی ۱۲ بعدی استفاده می‌شود که فرم کلی آن به صورت معادله ۳ است.

$$C_n(u_1, \dots, u_{12}) = \frac{1}{n} \sum_{i=1}^n I\left(\frac{R_{il}}{n+1} \leq u_1, \dots, \frac{R_{il2}}{n+1} \leq u_{12}\right) \quad (3)$$

که در آن، $I(A)$ نشان‌دهنده عبارت منطقی است، به طوری که اگر A نادرست باشد، مقدار $I(A)$ برابر صفر و اگر A درست باشد، مقدار $I(A)$ برابر ۱ در نظر گرفته می‌شود. R_{il}, \dots, R_{il2} به ترتیب رتبه داده مشاهده شده ام در سری n تایی است. تابع حاشیه‌ای بارش با $w=1, \dots, 12$ نشان داده شده اند. باید در نظر داشت که (u_1, \dots, u_{12}) در معادله مذکور احتمال تجمعی توأم از ۱۲ احتمال حاشیه‌ای $\{u_1, \dots, u_{12}\}$ تولید می‌کند (یعنی $P[U_1 \leq u_1, \dots, U_{12} \leq u_{12}] = q$) در فضای احتمالاتی ۱۲ بعدی ممکن است ترکیب‌های متفاوتی از $\{u_1, \dots, u_{12}\}$ با مقدار مشابه احتمال تجمعی q وجود داشته باشد. فرض بر آن است که رخدادهای با مقدار یکسان q ، تأثیر مشابهی روی منابع آبی دارند. به طور مثال، q کوچکتر نشان‌دهنده شرایط خشک‌تر است، در حالی که مقدار q بزرگ‌تر نشان‌دهنده شرایط مرطوب‌تر می‌باشد. تابع توزیع

$$\hat{\theta} = \arg \max \sum_{k=1}^n \log [c_0 \{F(X_{1k}), \dots, F(X_{pk})\}, \theta] \quad (8)$$

در ادامه جهت تعیین تابع مفصل برتر در حالت‌های دو و سه‌متغیره از ریشه میانگین مربعات خطای معادله ۹ و معیار آکائیکه معادله ۱۰ استفاده شد. تابع مفصلی مناسب‌تر می‌باشد که مقدار آکائیکه (AIC) آن کوچکتر و به صفر نزدیک‌تر باشد یا ریشه میانگین مربعات خطای (RMSE) آن حداقل باشد (Ayantoboo et al., 2019).

$$RMSE = \sqrt{\frac{1}{n} \sum_{i=1}^n (C_{pi} - C_{ei})^2} \quad (9)$$

$$AIC = \left(\frac{2n}{n-k-1} \right) k - 2 \ln(L \max) \quad (10)$$

از بین چند مدل مفروض، مدلی مناسب‌تر است که AIC کمتری داشته باشد. در معادله ۹ C_p مقادیر محاسباتی تابع مفصل پارامتری، C_0 مقادیر مشاهداتی احتمال به دست آمده از تابع مفصل تجربی می‌باشد و در معادله ۱۰، n تعداد داده‌ها، k تعداد پارامترها و $L \max$ مقدار حداکثر تابع درستنمایی است. $L \max$ حین محاسبه پارامترهای مدل به دست می‌آید. روابط مربوط به سه تابع مفصل مهم در جدول ۱ آمده است.

تحمیل پارامترهای تابع مفصل و تعیین تابع برتر در مدل‌سازی دومتغیره خشکسالی با استفاده از توابع مفصل روش‌های مختلفی برای تخمین پارامتر وابستگی تابع مفصل وجود دارد که می‌توان به سه دسته روش‌های نیمه‌پارامتری، ناپارامتری و تخمین بر اساس حداکثر درستنمایی اشاره کرد. در این مطالعه، از روش حداکثر درستنمایی جهت تخمین پارامتر تابع مفصل θ استفاده گردید. اگر متغیرهای تصادفی وابسته به صورت $X_{1k}, X_{2k}, \dots, X_{pk}, k=1, \dots, n$ با تابع مفصل $F_\theta(x_{1k}, x_{2k}, \dots, x_{pk}) = C_0(F(X_{1k}), \dots, F(X_{pk}))$ لگاریتم درستنمایی به صورت معادله ۷ می‌باشد (Farve et al., 2006).

$$L(\theta) = \sum_{k=1}^n \log [c_0 \{F(X_{1k}), \dots, F(X_{pk})\}] \quad (7)$$

$$c_0 = \left(\frac{\partial^n C_0}{(\partial F_1, \dots, \partial F_n)} \right)$$

در معادله ۷، c_0 تابع چگالی احتمال مفصل و F تابع توزیع حاشیه‌ای می‌باشد. پارامتر θ مقداری است که معادله ۸ را بیشینه می‌کند.

Table 1– Equations of the best copula functions in this research

جدول ۱- معادلات توابع مفصل برتر در تحقیق

Copula Function	Equation	Copula Parameter Range
Ali-Mikhail Haq	$C(u, v) = uv \times (1 - \theta(1 - u)(1 - v))^{-1}$	$-1 \leq \theta \leq 1$
Farlie-Gumbel-Morgenstern	$C(u, v) = uv[1 + \theta(1 - u)(1 - v)]$	$-1 \leq \theta \leq 1$
Joe	$C(u, v) = 1 - [(1-u)^\theta + (1-v)^\theta - ((1-u)(1-v))^\theta]^{\frac{1}{\theta}}$	$\theta \geq 0$

با پارامتر وابستگی θ_1 و θ_2 (منتظر با C_1 و C_2) استفاده شده اند (معادله ۱۴).

$$\begin{cases} \phi_1(C_1(w, C_2(u, v))) = \phi_1(w) + \phi_1(C_2(u, v)) \\ \phi_2(C_2(u, v)) = \phi_2(u) + \phi_2(v) \end{cases} \quad (14)$$

ضرایب همبستگی

در این مطالعه، از ضرایب همبستگی تاو کندال، اسپیرمن و همبستگی خطی پیرسون برای ارزیابی ساختار وابستگی متغیرهای مورد بررسی، استفاده گردید. ضریب تاو کندال برای اندازه‌گیری درجه تطابق بین دو متغیر، برای مثال مشاهدات جفت شده، استفاده می‌شود. اگر تطابق بین دو متغیر زیاد باشد، ضریب برابر با یک و اگر ناهمانگی بین

روش توابع مفصل تودرتو

به طور کلی توابع مفصل با ابعاد بیش از دومتغیره، به دو دسته متقارن و نامتقارن (تودرتو) تقسیم می‌شوند. در این مطالعه، از توابع مفصل‌های ارشمیدسی تودرتو استفاده شد که معادله کلی آن به صورت معادله ۱۲ می‌باشد.

$$C(u_1, \dots, u_n) = C_1(u_n, C_2(u_{n-1}, \dots, C_{n-1}(u_2, u_1))) = \phi_1^{-1}(\phi_1(u_n) + \phi_1^{-1}(\phi_2(u_{n-1}) + \dots + \phi_{n-1}^{-1}(\phi_{n-1}(u_2) + \phi_{n-1}(u_1)))) \quad (12)$$

$$C_{uvw} = (u, v, w) = C_1(w, C_2(u, v)) \quad (13)$$

در معادله ۱۳، ابتدا u و v با مفصل C_2 به هم پیوند می‌شوند، سپس توزیع دومتغیره حاصل، توسط مفصل C_2 با توزیع حاشیه‌ای w پیوند می‌یابد. دو تابع مولد ϕ_1 و

این مقاله به دلیل محدودیت در تعداد صفحات، فقط نتایج مربوط به دو ایستگاه کرمان (کمپارش) و رشت (پریارش) برای نمونه جهت مقایسه دو شاخص آورده شد. در شکل ۴ سری زمانی دو شاخص JDI و SPI_w^{mod} برای دوره آماری ۱۹۷۱-۲۰۱۷ برای دو ایستگاه کرمان و رشت ارائه شده است. با توجه به شکل ۴ برای ایستگاه کرمان مقادیر SPI^{mod} مشاهده شده در همه بازه‌های زمانی برای ماه فوریه ۱۹۹۳ کمبودهای بارش جدی که نشان‌گر یک خشکسالی شدید می‌باشد را نشان می‌دهند که این مقدار ۲/۸۷- می‌باشد، در حالی که بر اساس شاخص JDI در این ایستگاه ماه فوریه ۱۹۹۳ به صورت نرمال بوده است و مقدار آن برابر صفر می‌باشد. برای ایستگاه رشت در همین ماه (فوریه ۱۹۹۳) مقدار شاخص SPI^{mod} برابر با ۱/۷۲ بوده است، لذا این ماه مرطوب محسوب می‌شود و بر اساس شاخص JDI این مقدار برابر ۰/۱۲- ماه مرطوب محسوب می‌شود. در ایستگاه رشت برای ماه مه سال ۱۹۹۶ مقدار شاخص SPI^{mod} برابر ۰/۳۱- به دست آمده است و این مقدار برای شاخص JDI برابر ۱/۴۳- می‌باشد، در حالی که برای ایستگاه کرمان مقادیر شاخص‌های SPI^{mod} و JDI به ترتیب ۰/۱۴- و ۱/۴۳- می‌باشند که SPI^{mod} این ماه را خشک نشان می‌دهد. برای ماه آوریل سال ۲۰۰۷ که خشکسالی در ایستگاه رشت شدید می‌باشد، مقدار شاخص SPI^{mod} برابر ۰/۵- می‌باشد، در حالی که مقدار شاخص JDI در این ماه برابر صفر بوده و شرایط نرمال می‌باشد و برای ایستگاه کرمان مقادیر شاخص‌های SPI^{mod} و JDI به ترتیب ۰/۲۸- و ۰/۲۸- می‌باشد. همان‌طور که در شکل ۴ مشاهده می‌شود، و صفر می‌باشد. نتایج حاصل از این تحقیق برای همه مناطق مرطوب و پریارش نتایج دو شاخص SPI^{mod} و JDI جهت نشان دادن ماههای تر و خشک تقریباً مشابه می‌باشد، فقط از لحاظ مقدار عددی شاخص با هم تفاوت دارند، در حالی که در مناطق خشک و کمپاران این تطابق نسبتاً کمتر می‌باشد. نتایج حاصل از این تحقیق برای همه ایستگاه‌ها نشان داد که با افزایش مقیاس زمانی نوسانات شاخص SPI^{mod} کاهش یافته ولی مدت خشکسالی‌ها و ترسالی‌ها طولانی‌تر شده است. بنابراین، در خشکسالی‌های بلندمدت، شدت خشکسالی‌ها هم افزایش می‌یابد. به عنوان مثال، در یک دوره دوازدهماهه کمبود بارندگی،

دو متغیر زیاد باشد، ضریب برابر ۱- و برای حالتی که این ضریب برابر صفر می‌باشد، دو متغیر مستقل از هم می‌باشند (معادله ۱۵). ضریب اسپیرمن ضریب ناپارامتری و بیانگر درجه تطابق بین دو متغیر بوده و مانند ضریب تاو کندال در مجموعه‌ای از داده‌ها محاسبه می‌شود. به عبارت دیگر، ضریب اسپیرمن بر اساس رتبه داده‌ها محاسبه می‌شود (معادله ۱۶).

$$\tau = \frac{c-d}{\binom{n}{2}} \quad (15)$$

$$\rho = 1 - \frac{6d_i^2}{n(n^2-1)}, d_i = x_i - y_i \quad (16)$$

$$r = \frac{\text{Cov}(x, y)}{\sigma_x \sigma_y} \quad (17)$$

که در آن‌ها c و d به ترتیب بیانگر متغیرهای جفت شده سازگار و ناسازگار، N تعداد متغیرها و cov(x,y) بیانگر کواریانس بین x و y و σ_x و σ_y انحراف معیار x و y می‌باشد (Nelsen, 2006). در ادامه مراحل کار روش تحقیق به صورت فلوچارت در شکل ۳ ارائه شده است.

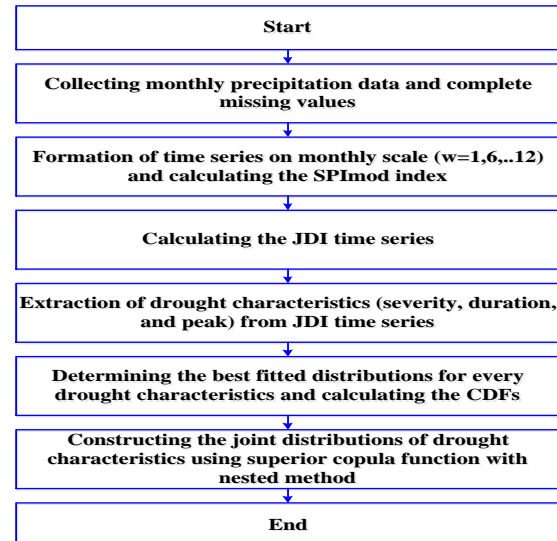


Figure 3- Flowchart of the research method phases

شکل ۳- فلوچارت مراحل روش کار

نتایج و بحث

مقایسه نتایج شاخص JDI با SPI^{mod}

در این مطالعه، برای محاسبه SPI^{mod} ازتابع توزیع گامای دوپارامتری استفاده شد. سپس با استفاده از آزمون اندرسون-دارلینگ در سطح ۵٪ بررسی توزیع‌های مختلف آماری برای مشخصه‌های خشکسالی ارزیابی گردید. در

عملکرد شاخص JDI نسبت به شاخص SPI^{mod} جهت تحلیل خشکسالی‌ها بهتر می‌باشد. در شکل ۵ حاشیه‌های بارش برای دو ایستگاه رشت و کرمان برای نمونه، بر اساس دو شاخص JDI و SPI^{mod} در مقیاس‌های اساس دو W=1,2,...,12 و همچنین میانگین درازمدت بارش دو ایستگاه طی دوره آماری ۱۹۷۱-۲۰۱۷ به همراه بارش ماهانه سال ۲۰۰۷ آورده شده است.

مقدار این شاخص در انتهای دوره کم بارش بیش از مقدار آن در زمان مشابه و در مقیاس سه‌ماهه خواهد بود. زیرا در مقیاس دوازده ماهه اثر بارش همان ماه و ۱۱ ماه ماقبل در نظر گرفته شده، ولی در مقیاس سه‌ماهه تنها اثر بارش همان ماه و دو ماه ماقبل لحاظ گردیده است. با این وجود، فقط با توصل به شاخص JDI می‌توان وضعیت خشکسالی کلی را به صورت یک شاخص مبتنی بر احتمال بیان نمود و توضیحات مذکور مؤید این مطلب است که

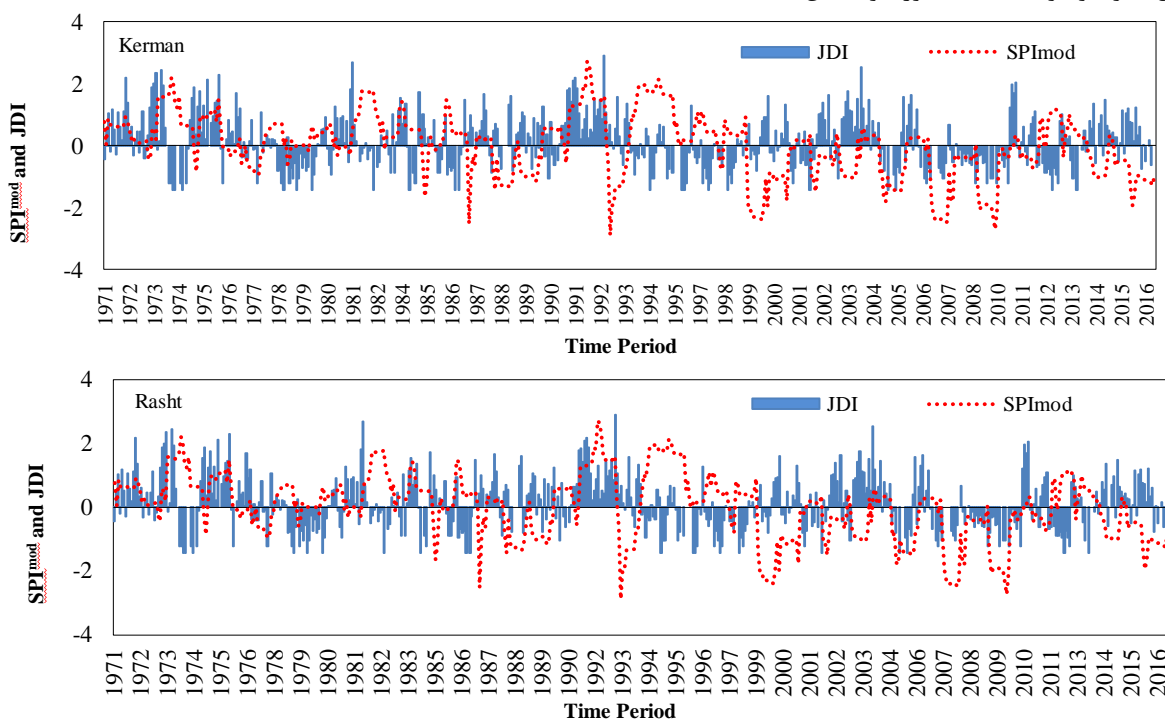


Figure 4- Time series of two indices JDI and SPI^{mod} for Rasht and Kerman stations

شکل ۴- سری زمانی دو شاخص JDI و SPI^{mod} برای دو ایستگاه رشت و کرمان

عملکرد بهتری در تشخیص خشکسالی‌های طولانی، نسبت به رویدادهای آغاز خشکسالی نشان می‌دهند. به ویژه این که SPI^{mod} های بلندمدت قادر به تشخیص آغاز خشکسالی‌ها نیستند. دلیل آن این است که زمان آغاز یک خشکسالی، در واقع مقدار SPI^{mod} در ماه فعلی منفی و در ماه یا ماههای قبل مثبت بوده است. در SPI^{mod} های بلند مدت به دلیل این که مقادیر بارش ماه فعلی با مقادیر بارش ماههای قبل ترکیب می‌شود، ممکن است تر بودن ماههای قبل، اثر خشکی ماه فعلی را خنثی کنند و شاخص SPI^{mod} چند ماهه در نهایت حالت ترسالی را گزارش کند. در مورد خشکسالی‌های طولانی شاخص JDI عملکرد بهتری نسبت به شاخص SPI^{mod} با مقیاس‌های

طبق شکل ۵، برای ایستگاه کرمان نتایج بر اساس شاخص SPI^{mod} در مقیاس ۱۲ ماهه برای ماه ژانویه (۲۰۰۷) بیانگر ماهی مرطوب می‌باشد، در حالیکه بر اساس مقدار بارش ماهانه این سال (۲۰۰۷) برای ماه ژانویه نسبت به متوسط درازمدت آن بیان گر ماهی خشک می‌باشد و شاخص JDI نیز این ماه را خشک نشان می‌دهد. برای ایستگاه رشت مقدار بارش در ماه ژانویه (۱۹۷۱-۲۰۱۷) نسبت به متوسط درازمدت آن (۲۰۰۷) بیان گر ماه خشک می‌باشد که این موضوع توسط دو شاخص SPI^{mod} و JDI نیز مورد تأیید می‌باشد. بر اساس آنچه که در شکل ۵ آمده است، با مقایسه شاخص‌های JDI و SPI^{mod} می‌توان نتیجه گرفت که شاخص JDI

SPI^{mod} را ارائه می‌دهد. در حالت کلی می‌توان چنین استباط کرد که شاخص JDI می‌تواند احتمال کمبود وضعیت تؤمن را به طور دقیق‌تر و واقعی‌تر از شاخص SPI^{mod} نشان دهد. از طرفی در تحلیل وضعیت نرمال برای ایستگاه‌های مختلف تحلیل بر مبنای شاخص SPI^{mod} یک ماهه نمی‌تواند نتایج درستی را ارائه دهد. در حالی که تحلیل بر مبنای مقیاس ۱۲ ماهه همین شاخص نتایج واقعی‌تر در خصوص سال‌های نرمال را ارائه می‌دهد. دلیل این موضوع را می‌توان در حافظه طولانی مدت شاخص SPI^{mod} در مقیاس ۱۲ ماهه نسبت به مقیاس یک ماهه آن جستجو کرد. نتایج این بخش با نتایج Mirabbasi et al., (2015), Kao and Ahmad et al., (2013; 2017) و Bazrafshan et al., (2019) و Govindaraju, (2010) مطابقت دارد. مطالب مذکور در شکل ۵ برای دو ایستگاه کرمان و رشت برای ماه ژانویه ۲۰۰۷ برای مقیاس‌های زمانی مختلف نشان داده شده است.

ارزیابی ضرایب همبستگی چندمتغیره و مشخصات آماری

در بررسی خشکسالی‌ها بر اساس توابع مفصل تحلیل مشخصات آماری از اهمیت بالایی برخوردار است، در این تحقیق ارزیابی آماری مشخصه‌های خشکسالی برای ۴۱ ایستگاه مورد مطالعه در کل کشور طی دوره آماری ۱۹۷۱-۲۰۱۷ در جدول ۲ آورده شده است. برای نمونه، متوسط شدت، مدت و فاصله بین دو خشکسالی متوالی برای دو ایستگاه کرمان (کم‌بارش) برابر ۴/۱۲ و ۲/۹۸ و برای ایستگاه رشت (پربارش) به ترتیب برابر ۸/۱۲ و ۵/۸۴ می‌باشد. به منظور استفاده از توابع مفصل برای تحلیل چندمتغیره ابتدا بایستی بین متغیرها همبستگی وجود داشته باشد تا بتوان آن‌ها را به صورت تؤمن تحلیل کرد. لذا مشخصات آماری شامل ساختار وابستگی بین شدت، مدت و فاصله بین آغاز دو خشکسالی متوالی با سه معیار ضریب همبستگی پیرسون، τ کندال و ρ اسپیرمن بررسی گردید. مقدار این ضرایب برای ایستگاه کرمان به ترتیب $0/۸۴$ ، $0/۸۱$ و $0/۹۳$ و برای ایستگاه رشت به ترتیب $0/۹۱$ ، $0/۷۵$ و $0/۹۶$ به دست آمد. همچنین میانگین مربعات خطای (RMSE) برای حالت‌های دومتغیره (بین شدت و مدت خشکسالی) سه‌متغیره (شدت، مدت و

زمانی مختلف نشان داد. بر این اساس، شاخص JDI که مبتنی بر احتمال تؤمن SPI^{mod} با مقیاس‌های ۱ تا ۱۲ ماهه می‌باشد، می‌تواند یک دید جامعی از شرایط خشکسالی را ارائه دهد.

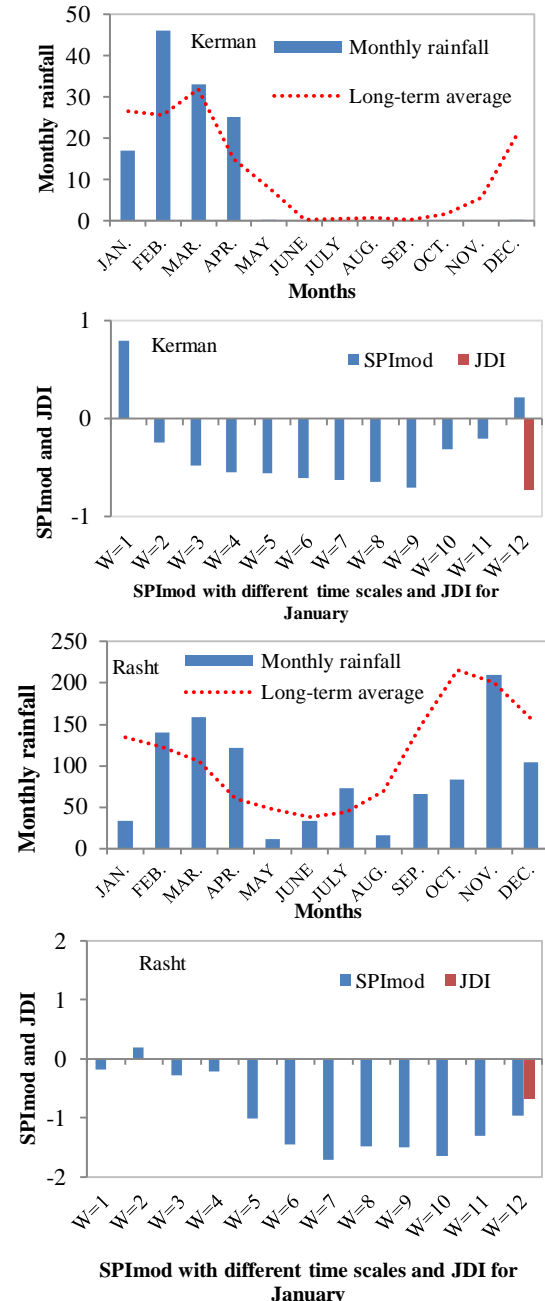


Figure 5-. SPI^{mod} with different time scales and JDI for January (2007) at Rasht and Kerman stations

شكل ۵-SPI^{mod} با مقیاس‌های زمانی مختلف و JDI برای دو ماه ژانویه (۲۰۰۷) در ایستگاه‌های رشت و کرمان

لذا می‌توان نتیجه گرفت که شاخص JDI انعکاس بهتری از ظهور خشکسالی‌ها و ترسالی‌ها نسبت به شاخص

خشکسالی نظیر متوسط شدت، متوسط مدت و متوسط فاصله بین آغاز دو خشکسالی متوالی برای تمام ایستگاهها محاسبه شد (جدول ۲).

فاصله بین آغاز دو خشکسالی متوالی)، معیار آکائیکه (AIC) و حداکثر درستنامایی (ML) جهت تعیین مفصل برتر مورد بررسی قرار گرفت. سپس سایر مشخصات

Table 2- Summary of drought characteristics' statistics (mean severity, duration, and interval between two droughts) copula parameters, correlation coefficients and estimator indices for drought analysis of all stations during the time period 1971-2017.

جدول ۲- خلاصه‌ای از آماره‌های مشخصه‌های خشکسالی (متوسط شدت، مدت و فاصله بین دو خشکسالی)، پارامترهای تابع مفصل، ضرایب همبستگی و مشخصه‌های تخمین‌گر جهت تحلیل خشکسالی کلیه ایستگاهها طی دوره آماری ۱۹۷۱-۲۰۱۷.

Stations	R	Rho-Spearman	Tau-Kendall	RMSE2	RMSE3	AIC	Log-likelihood2	Log-likelihood3	Mean Dd	Mean Ds	Mean Di	Best Copula
Abadan	0.90	0.73	0.88	0.0311	0.2720	-0.79	-248.43	-315.40	3.44	2.45	7.21	FGM
Arak	0.87	0.70	0.85	0.0194	0.2905	-0.45	-167.29	-278.93	2.85	1.78	6.78	Joe
Ahwaz	0.91	0.73	0.89	0.0185	0.2928	-0.46	-170.48	-288.63	3.51	2.29	7.9	FGM
Babolsar	0.91	0.71	0.67	0.0227	0.2952	-0.62	-203.34	-309.56	2.93	2.21	6.11	Joe
Bam	0.94	0.80	0.81	0.0297	0.2630	-0.59	-197.25	-306.69	3.77	2.67	7.53	Joe
Bandarabas	0.85	0.69	0.72	0.0329	0.2574	-0.59	-197.93	-246.27	2.81	1.47	7.45	FGM
Bandaranzali	0.93	0.71	0.81	0.0204	0.2161	-0.82	-256.47	-277.98	2.66	1.75	6.00	FGM
Bandarlenggeh	0.89	0.81	0.78	0.0333	0.2784	-0.71	-226.04	-293.12	4.30	3.10	8.97	FGM
Birjand	0.94	0.79	0.99	0.0445	0.2309	-0.73	-230.66	-282.15	3.79	2.57	8.12	FGM
Bushahr	0.93	0.82	0.89	0.0395	0.2977	-0.71	-226.45	-297.61	3.83	2.61	8.32	FGM
Dezful	0.93	0.74	0.81	0.0387	0.2507	-0.69	-221.5	-272.91	3.86	2.68	8.35	FGM
Esfahan	0.91	0.79	0.85	0.0282	0.2248	-0.65	-211.88	-274.96	4.12	2.78	9.15	FGM
Fasa	0.89	0.80	0.99	0.0221	0.2933	-0.71	-226.4	-309.15	3.52	2.15	8.32	FGM
Ghazvin	0.93	0.81	0.99	0.0178	0.2526	-0.74	-233.69	-237.66	3.59	2.39	7.84	FGM
Gorgan	0.94	0.74	0.78	0.0258	0.2682	-0.94	-295.80	-300.51	3.36	2.45	7.03	AIM
Hamedan	0.88	0.78	0.75	0.0253	0.2512	-0.70	-222.79	-272.63	3.07	1.81	7.25	FGM
Iranshahr	0.92	0.78	0.89	0.0263	0.2742	-0.71	-226.81	-304.03	3.39	2.19	7.76	FGM
Kashan	0.92	0.79	0.91	0.0238	0.2856	-0.52	-182.55	-306.82	3.42	2.37	7.52	Joe
Kerman	0.84	0.81	0.93	0.0263	0.1963	-0.75	-237.69	-311.54	4.12	2.98	8.12	FGM
Kermanshah	0.93	0.82	0.89	0.0395	0.2977	-0.71	-226.45	-297.61	3.83	2.61	8.32	FGM
Khoramabad	0.88	0.77	0.96	0.0200	0.2791	-0.70	-224.04	-288.49	3.78	2.53	8.45	FGM
Khoy	0.95	0.72	0.87	0.0238	0.2441	-0.49	-176.71	-280.38	3.33	2.29	7.35	Joe
Mashhad	0.92	0.78	0.74	0.0332	0.2585	-0.77	-241.73	-295.33	3.47	2.39	7.52	FGM
Ramsar	0.84	0.73	0.89	0.0131	0.2634	-0.40	-158.85	-259.66	2.34	1.36	5.62	Joe
Rasht	0.91	0.75	0.96	0.0186	0.2093	-0.79	-249.14	-267.36	2.49	1.58	5.84	FGM
Sabzevar	0.92	0.80	0.94	0.0289	0.2802	-0.76	-240.84	-314.98	4.03	2.99	8.18	FGM
Saghez	0.92	0.86	0.84	0.0340	0.2389	-0.73	-231.09	-297.51	4.21	3.07	8.89	FGM
Senandej	0.92	0.84	0.92	0.0389	0.2594	-0.66	-214.78	-298.80	4.47	3.21	9.26	FGM
Semnan	0.92	0.80	0.88	0.0210	0.2772	-0.78	-246.48	-308.08	3.24	2.28	6.95	FGM
Shahrkord	0.91	0.75	0.81	0.0192	0.2551	-0.54	-185.81	-305.51	3.53	2.50	7.52	Joe
Shiraz	0.87	0.79	0.86	0.0243	0.2468	-0.70	-224.56	-284.53	3.92	2.67	8.61	FGM
Shahroud	0.90	0.88	0.93	0.0462	0.2651	-0.77	-243.68	-306.69	4.12	3.28	8.46	FGM
Tabas	0.92	0.75	0.97	0.0293	0.2504	-0.48	-173.87	-281.46	3.94	2.79	8.28	Joe
Tabriz	0.95	0.72	0.82	0.0153	0.2684	-0.83	-259.91	-291.49	2.90	2.03	6.23	FGM
Tehran	0.85	0.78	0.94	0.0218	0.2473	-0.73	-231.14	-293.61	3.35	2.20	7.64	FGM
Torbat hy	0.91	0.72	0.93	0.0221	0.2742	-0.47	-171.81	-278.29	3.26	2.09	7.34	Joe
Urmia	0.93	0.80	0.82	0.0211	0.2777	-0.78	-246.24	-303.28	3.17	2.24	7.05	FGM
Yazd	0.86	0.79	0.78	0.0202	0.2747	-0.70	-223.30	-276.70	3.19	2.01	7.60	FGM
Zabol	0.93	0.81	0.93	0.0442	0.2938	-0.66	-214.28	-284.22	4.29	2.97	9.17	FGM
Zahedan	0.90	0.79	0.81	0.0392	0.2532	-0.68	-218.35	-280.40	3.58	2.21	8.33	FGM
Zanjan	0.95	0.72	0.88	0.0157	0.2259	-0.78	-246.77	-260.08	2.75	1.77	6.32	FGM

*در جدول فوق پارامترهای واستگی عبارتند از R- Spearman و Tau-Kendall و RMSE2,3 میانگین مربعات خطای RMSE2,3 بیانگر ریشه میانگین مربعات خطای به ترتیب در حالت دو و سه متغیره می‌باشد. AIC معیار آکائیکه، Log-likelihood2,3 بیانگر حداکثر درستنامایی به ترتیب در حالت دو و سه متغیره می‌باشد.

نتایج حاصل از محاسبه شاخص JDI

برای محاسبه شاخص JDI ابتدا مقدار تابع توزیع مفصل، K_c ، محاسبه گردید، سپس با محاسبه معکوس نرمال آن، t با مقدار شاخص JDI محاسبه شد. شرایط کمبود توأم t با استفاده از شاخص JDI جهت تعیین وضعیت کلی خشکسالی به کار می‌رود. به طور واضح احتمال تجمعی t کوچک‌تر بر شرایط خشکتر (خشکی در مقیاس‌های زمانی مختلف) و مقدار t بزرگ‌تر بر شرایط مرطوب‌تر دلالت می‌کند. به عنوان نمونه، شکل ۶-A مقدار تابع توزیع مفصل، K_c ، در مقادیر مختلف احتمال $t = C_{U_1, U_2, \dots, U_{12}}(u_1, u_2, \dots, u_{12})$ برای داده‌های شدت و مدت خشکسالی دو ایستگاه کرمان و رشت نشان می‌دهد (تابع مفصل برتر برای دو خشکسالی فارلی-گامبل-مورنگسترن می‌باشد). برای نمونه در شکل ۶-A، احتمال رویدادها برای ایستگاه کرمان با مقدار تابع توزیع مفصل t کمتر از $0/2$ حدود $0/3$ می‌باشد و برای ایستگاه رشت با مقدار مفصل t کمتر از $0/6$ حدود $0/65$ می‌باشد. در واقع، K_c همان مقدار تابع CDF توأم به ازای یک $C_{U_1, U_2, \dots, U_{12}}$ معین می‌باشد. دلیل شکستگی شکل ۶-A برای دو ایستگاه برای مقادیر تابع توزیع مفصل t کمتر از $0/2$ برای ایستگاه کرمان و کمتر از $0/6$ برای ایستگاه رشت را می‌توان در نداشتن داده‌های کافی مشاهداتی برای رسم نمودارها جستجو کرد. در این شکل‌ها مقدار تابع توزیع مفصل برای سطوح مختلف نشان داده شده است. بر اساس نتایج شاخص JDI در دوره آماری مطالعه شده از کل 564 ماه برای ایستگاه کرمان 268 ماه خشک و برای ایستگاه رشت 234 ماه خشک ($JDI < 0$) بوده است. نتایج حاصل از تحقیق نشان می‌دهد که تعداد ماههای خشک برای ایستگاه کرمان در طی دوره آماری $1971-1972$ افزایش یافته است، در حالیکه در ایستگاه رشت این میزان افزایش کمتر بوده است. همان‌گونه که اشاره شد، شاخص JDI برای هر ماه محاسبه می‌شود. ولی، به رغم اینکه به ظاهر شاخصی ماهانه است، شرایط رطوبتی دوازده ماه گذشته را انعکاس می‌دهد. در شکل ۶-B نمودار سه‌بعدی شدت و مدت خشکسالی به ازاء مقادیر مختلف احتمال برای دو ایستگاه کرمان و رشت برای نمونه آورده شده است.

جهت تعیین توزیع برتر بر داده‌های شدت، مدت و فاصله بین آغاز دو خشکسالی متوالی از آزمون اندرسون-دارلینگ در سطح 5 درصد استفاده گردید. نتایج حاکی از آن است که توزیع برتر برای داده‌های شدت و مدت به ترتیب توابع گاما و نمایی و برای داده‌های فاصله بین آغاز دو خشکسالی متوالی تابع توزیع مقادیر حدی تعیین‌یافته بودند. در ادامه جهت تعیین تابع مفصل برتر ابتدا با استفاده از روش تودرتو دو متغیر شدت و مدت با هم جفت شدند که از جفت شدن آن‌ها توزیعی دومتغیره حاصل شد، سرانجام جهت تحلیل سه‌متغیره خشکسالی توزیع دومتغیره جدید مستخرج شده با توزیع تک‌متغیره برآرش یافته بر متغیر فاصله بین آغاز دو خشکسالی متوالی جفت شد. سپس تابع مفصل برتر برای هر دو حالت دو و سه‌متغیره استخراج گردید. جهت تعیین مفصل برتر برای هر ایستگاه از حداکثر درستنمایی و ریشه میانگین مربعات خطأ استفاده گردید (هر تابعی که حداکثر درستنمایی و حداقل RMSE را داشته باشد، به عنوان مفصل برتر شناخته می‌شود). مقادیر ماکریزم ضرایب همبستگی، حداکثر درستنمایی، معیار آکائیکه، متوسط شدت، متوسط مدت و متوسط فاصله بین آغاز دو خشکسالی متوالی به صورت پرنگ در جدول ۲ مشخص گردیده است. موارد فوق بر روی نه تابع مفصل کلایتون، علی-میخائیل-حق، فارلی-گامبل-مورنگسترن، فرانک، گالامبوس، گامبل-هوگارد و پلاکت بررسی گردید. نتایج حاصل نشان داد که مفصل برتر برای 32 ایستگاه مورد بررسی، فارلی-گامبل-مورنگسترن (FGM)، 8 ایستگاه مفصل جوئی (Joe) و یک ایستگاه تابع مفصل علی-میخائیل-حق (ALH) بوده است. با توجه به اینکه در اکثر ایستگاه‌های مورد بررسی تابع مفصل فارلی-گامبل-مورنگسترن (FGM) برآرش قابل قبولی داشته است، لذا این تابع بعنوان تابع مفصل برتر غالب در منطقه مورد مطالعه شناخته گردید. تحلیل آماری چندمتغیره مشخصه‌های خشکسالی با استفاده از توابع مفصل جهت برنامه‌ریزی در مسائل مرتبط با مدیریت منابع آب، محیط زیست، کشاورزی و سایر مسائل اقتصادی و اجتماعی می‌تواند، اطلاعات جامعی را در اختیار مدیران و برنامه‌ریزان حوزه‌های مختلف قرار دهد.

مفصل مناسب فارلی-گامبل-مورنگسترن (FGM) بوده است، نمودار مذکور بر اساس اینتابع مفصل ترسیم گردید. بر این اساس احتمال اینکه هم شدت و هم مدت خشکسالی به طور همزمان از سطوح آستانه معین بیشتر باشند، دارای یک مقدار عددی می‌باشد که میزان آن به ازاء شدت و مدت‌های مختلف متفاوت است، همچنین در ادامه پهنگندی تعداد ماههای خشک در ایستگاه‌های مورد مطالعه بر اساس شاخص JDI در شکل ۷ ارائه شده است. نتایج حاصل از پهنگندی نشان می‌دهد که مناطق غرب، شمال‌غرب و برخی از مناطق شمالی نسبت به سایر مناطق کشور بیشتر در معرض خشکی بوده‌اند. با توجه به اینکه پدیده‌های هیدرولوژیکی و هواشناسی به صورت تناوبی تکرار می‌شوند، لذا احتمال رخدادن آن‌ها در آینده نیز وجود دارد. از این‌رو تحلیل بر این مبنای تواند در شرایط بهره‌برداری از مخازن سدها و منابع آبی در زمان کم‌آبی و شرایط خشکسالی و همچنین مدیریت در بخش کشاورزی سودمند باشد و اطلاعات مفیدی در اختیار مدیران منابع آبی جهت بهبود مدیریت منابع آبی تحت شرایط خشکسالی قرار دهد.

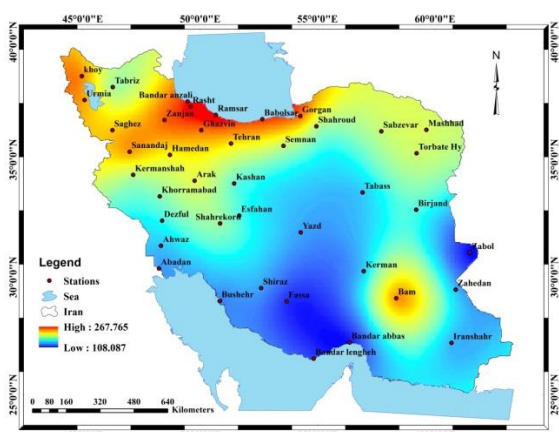


Figure 7- Delineation of the number of dry months in the studied stations (1971-2017)

شکل ۷- پهنگندی تعداد ماههای خشک در ایستگاه‌های مورد مطالعه (۱۹۷۱-۲۰۱۷)

نتیجه‌گیری

به دلیل آنکه غالباً همبستگی میان مشخصه‌های خشکسالی زیاد است، لذا تحلیل‌های تک متغیره قادر به وارد کردن تأثیرات این وابستگی در محاسبات نیستند. بنابراین، بهترین روش برای پایش خشکسالی، تحلیل توانم

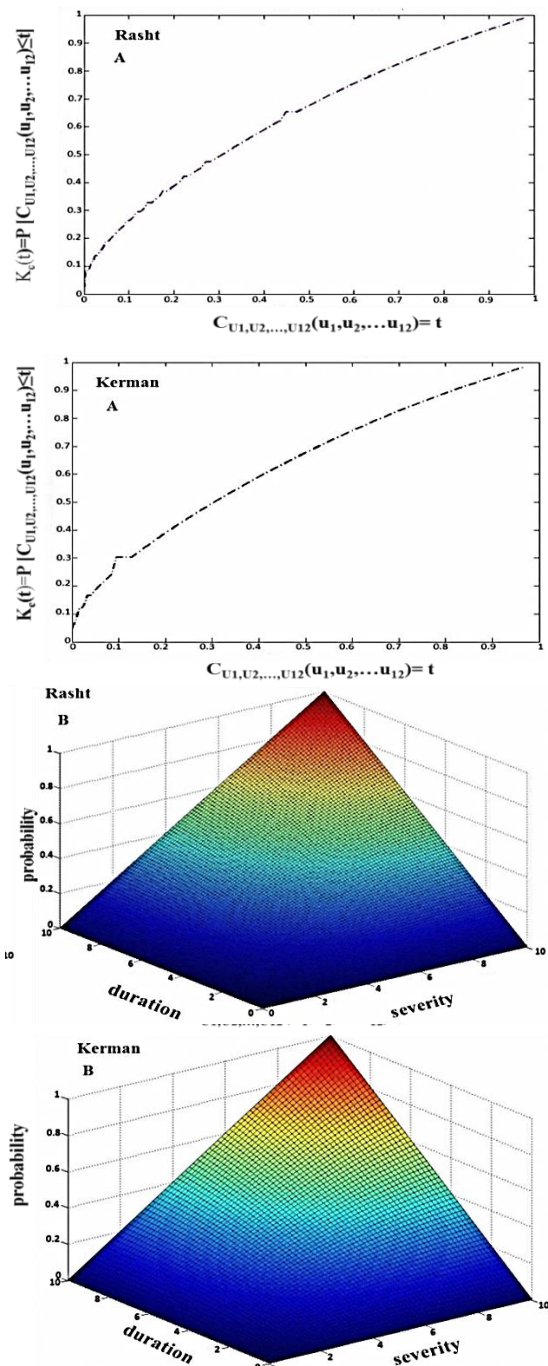


Figure 6- Copula Distribution function, $K_c(t)$, at different value of $C_{U1,U2,\dots,U12}$ for Kerman and Rasht stations

شکل ۶- تابع توزیع مفصل، $K_c(t)$ ، در مقادیر مختلف $C_{U1,U2,\dots,U12}$ برای ایستگاه‌های رشت و کرمان

همان‌طور که در نمودارهای سه‌بعدی مشاهده می‌شود هر چه شدت و مدت خشکسالی بیشتر باشد، احتمال وقوع کم‌تر و دوره بازگشت بزرگ‌تر خواهد بود و بالعکس، هرچه احتمال وقوع بیشتر باشد، یعنی دوره بازگشت کم‌تر خواهد بود. با توجه به اینکه در این دو ایستگاه تابع

گالامبوس، گامبل- هوگارد، پلاکت، فیلیپ- گامبل و جوئی جهت ایجاد توزیع توأم از مشخصه های خشکسالی بررسی شد. بر این اساس تابع مفصل فارلی- گامبل- مورنگسترن (FGM) به عنوان تابع مفصل برتر غالب شناخته شد (۳۲) ایستگاه تابع مفصل FGM، ۸ ایستگاه تابع مفصل جوئی، ۱ ایستگاه تابع مفصل علی- میخائیل- حق). در این مطالعه، پس از ایجاد توزیع های دومتغیره از مشخصه های خشکسالی، توزیع سه متغیره نیز با روش تودرتو ایجاد گردید. در مرحله بعد احتمال توأم برای همه ایستگاه ها بر اساس تابع مفصل برتر، ایجاد شد و نتایج آن به صورت نمودار های سه بعدی ارائه گردید. این نتایج می تواند اطلاعات مفیدی را در اختیار مدیران برای تدوین برنامه های مناسب در جهت مقابله و کاهش خسارات خشکسالی قرار دهد. به طور کلی نتایج حاصل از این تحقیق نشان داد که، خشکسالی ها در غرب، شمال غرب و بدخشان استان های شمالی نسبت به سایر مناطق شدیدتر است. نتایج حاصل از این تحقیق با نتایج Mojarrad et al., (2015) Javizadeh et Daneshmand and Mahmoudi (2017) al., (2019) که خشکسالی ها را در ایران مورد مطالعه قرار دادند مطابقت دارد. پیشنهاد می شود با توجه به این که که شاخص JDI به متغیرهای هیدرولوژیکی مختلف قابل تعیین می باشد، بنابراین می تواند در محاسبه شدت خشکسالی بین متغیری نیز به کار رود. همچنین مقایسه بین خشکسالی های بارش و جريان با استفاده از JDI از دیگر زمینه های مطالعاتی در آینده می تواند باشد. پیشنهاد می شود که شاخص JDI با استفاده از داده های ماهواره ای به صورت بهنگام برای کل کشور محاسبه شود تا مدیران بخش آب کشور بتوانند از نتایج آن بهره مند شده و برای مقابله با عواقب خشکسالی ها برنامه ریزی دقیق تری انجام دهند.

منابع

- Ahmadi, F., Mirabbasi Najafabadi, R., Radmanesh, F. 2015. Application of Joint Deficit Index (JDI) for analyzing droughts over the southern margin of the Caspian Sea. Iranian Journal of Soil and Water Research, 46(3), 431-442. (In Farsi).
- Ayantobo, O. O., Li, Y., Song, S. 2019. Multivariate Drought frequency analysis using four-variate symmetric and asymmetric archimedean copula functions Theoretical and Applied Climatology, 33:103-127.
- Bazrafshan, O., Zamani, H., Shekari, M. 2019. A copula-based index for drought analysis in arid and semi-arid regions of Iran. Natural Resource Modeling; e12237. <https://doi.org/10.1111/nrm.12237>
- Boroghani, M., Taie, M., Mirmia, S. 2014. Analysis of relationship between hydrogeological and climatological droughts using SWI and SPI indices in Sabzevar Plain.

مشخصه های آن است. در این تحقیق، جهت تحلیل چندمتغیره خشکسالی هواشناسی در کشور از داده های بارش ماهانه ۴۱ ایستگاه هواشناسی استفاده گردید. سپس شاخص کمبود توأم (JDI) که یک شاخص چندمتغیره مبتنی بر احتمال از مجموعه ای از SPI^{mod} ها با اندازه بازه های زمانی یک تا دوازده ماهه است، محاسبه گردید و عملکرد آن ها با هم مقایسه شد. نتایج نشان داد به رغم پیچیده بودن محاسبات شاخص JDI نسبت به SPI^{mod}، اما به دلیل ادغام شاخص SPI^{mod} با مقیاس زمانی مختلف در یک شاخص و در نتیجه کاهش حجم نتایج، تفسیر آن ها ساده تر است. به عبارت دیگر، در شاخص JDI برای هر ماه یک مقدار محاسبه می شود، در حالی که شاخص SPI^{mod} برای مقیاس های زمانی مختلف محاسبه می گردد. مزیت دیگر شاخص JDI نسبت به شاخص های متداول خشکسالی این است که شاخص JDI علاوه بر توصیف علمی وضعیت خشکسالی توانایی مشخص کردن آغاز خشکسالی ها و نیز خشکسالی های طولانی مدت به صورت توأم را دارد. نتایج حاصل نشان داد که بیشترین درصد تعداد ماهه های خشک مربوط به ایستگاه کرمان ۴۸٪ و کمترین آن مربوط به ایستگاه بندر انزلی ۳۷٪ بوده است. همچنین درصد ماهه های خشک برای ایستگاه رشت ۴۲٪، به دست آمد. در ادامه مشخصه های خشکسالی شامل شدت، مدت و فاصله بین آغاز دو خشکسالی متوالی استخراج شد. پس از برآش تابع توزیع حاشیه ای مناسب بر هر مشخصه خشکسالی (شدت، مدت و فاصله بین آغاز دو خشکسالی متوالی به ترتیب تابع گاما، نمایی و مقادیر حدی تعیین یافته به عنوان توابع توزیع حاشیه ای برتر شناخته شدند)، سپس قابلیت نه تابع مفصل مختلف شامل کلایتون، علی- میخائیل- حق، فارلی- گامبل- مورنگسترن، فرانک،

- Iranian Journal of Range and Desert Research, 20(4), 733-744. (In Farsi).
- Chen, L., Singh, V.P., Guo, S., Hao, Z., Li, T. 2012. Flood coincidence risk analysis using multivariate Copula function. *Journal of Hydrologic Engineering* 17(6): 742-755.
- Cheraghizadeh, M., Ghameshlou, A.N., Bazrafshan, J., Bazrafshan, O. 2018. A copula-based joint meteorological-hydrological drought index in a humid region (Kasilian basin, North Iran). *Arabian Journal of Geosciences*, 11(12): <https://doi.org/10.1007/s12517-018-3671-7>.
- Daneshmand, H., Mahmoudi, P. 2017. A spectral analysis of Iran's droughts. *Iranian Journal of Geophysics*, 10(4), 28-47. (In Farsi).
- Favre, A.C., Adlouni, S. El., Perreault, L., Thiemonge, N., Bobee, B. 2004. Multivariate hydrological frequency analysis using copulas. *Water Resources Research*, 40, W01101.
- Filho, J.D.P., Portela, M.M., Studart, T.M.D.C., Filho, F.D.A.S. 2019. A continuous drought probability monitoring system, CDPMS, based on copulas. *Water*, 11(9), 1925; <https://doi:10.3390/w11091925>.
- Javizadeh, S., Hejazizadeh, Z. 2019. Analysis of drought spatial statistics in Iran. *Researches in Geographical Sciences*. 19 (53): 251-27. (In Farsi).
- Joe, H. 1997. Multivariate models and dependence concepts. London: Chapman & Hall. 399 pp.
- Kao, S.C., Govindaraju, R.S. 2010. A copula-based joint deficit index for droughts. *Journal of Hydrology* 380: 121-134.
- Kao, S.C., Govindaraju, R.S. 2008. Trivariate statistical analysis of extreme rainfall events via the Plackett family of copulas. *Water Resources Research*. 44(2): 102-115.
- Loukas, A., Vasiliades, L. 2004. Probabilistic analysis of drought spatiotemporal characteristics in Thessaly region, Greece. *Natural Hazards and Earth System Sciences*, 4: 719-731.
- McKee, T.B., Doeskin, N.J., Kleist, J. 1993. The relationship of drought frequency and duration to time scales. In Proceedings of the 8th Conference on Applied Climatology, January 17-22, Anaheim, California. pp. 179-184.
- Mesbahzadeh, T., Mirakbari, M., Mohseni Saravi, M., Soleimani Sardoo, F., Miglietta, M.M. 2019. Meteorological drought analysis using copula theory and drought indicators under climate change scenarios (RCP), *Meteorological Applications*, 27(1): 1-20.
- Mirabbasi Najafabadi, R., Ahmadi, F., Ashuri, M., Nazeri Tahroudi, M. 2017. Droughts analysis in the Northeast of Iran using Joint Deficit Index (JDI). *Iranian Journal of Ecohydrology*, 4(2), 573-585. (In Farsi).
- Mirabbasi, R., Anagnostou, E. N., Fakheri-Fard, A., Dinpashoh, Y., Eslamian, S. 2013. Analysis of meteorological drought in northwest Iran using the Joint Deficit Index. *Journal of Hydrology*, 492, 35-48.
- Mirabbasi, R., Fakheri-Fard, A., Dinpashoh, Y. 2012. Bivariate drought frequency analysis using the Copula method. *Theoretical and Applied Climatology*, 108, 191-206.
- Mishra, A.K., Singh, V.P. 2010. A review of drought concepts. *Journal of Hydrology*, 391:202-216.
- Mojarad, F., Khiri, R., Noori, Z. 2015. Frequency analysis of daily droughts in Iran with Effective Drought Index, *Journal of Geographical Sciences Applied Research*, 14(35), 29-48. (In Farsi).
- Nadi, M., Bazrafshan, J., Pourtahmasi, K., Bräuningd, A. 2016. Tree-ring based reconstruction of the joint deficit index in Javan-Roud Region, Kermanshah (Iran). *International Journal of Climatology*, 37(1), 420-429.
- Nelsen, R. B., 2006, An Introduction to Copulas, Springer, New York. 269 pp.
- Palmer, W.C. 1968. Keeping track of crop moisture conditions, nationwide: the new Crop Moisture Index, *Weatherwise*, 21: 156-161.
- Ramezani, Y., Nazeri Tahroudi, M. 2020 Improving the performance of the SPEI using four-parameter distribution function. *Theoretical and Applied Climatology*, 139, 1151-1162.
- Salvadori, G., De Michele, C. 2006. Statistical characterization of temporal structure of storms. *Advances in Water Resources*, 29(6): 827-842.
- Serinaldi, F. 2008. Copula-based mixed models for bivariate rainfall data: An empirical study in regression perspective. *Stochastic Environmental Research and Risk Assessment* 23(5), 677-693.
- Serinaldi, F., Bonaccorso, B., Cancelliere, A., Grimaldi, S. 2009. Probabilistic characterization of drought properties through copulas. *Journal of Physics and Chemistry of the Earth* 34, 596-605.
- Shiau, J. T. 2006. Fitting drought duration and severity with two-dimensional copulas. *Water Resources Management*. 20: 795-815.
- Sklar, A. 1959. Distribution functions of n Dimensions and Margins. *Publications of the*

- Institute of Statistics of the University of Paris, 8, 229-231.
- Sun, Peng., Zhang, Q., Yao, R., Wen, Q. 2019. Hydrological Drought Regimes of the Huai River Basin, China: Probabilistic Behavior, Causes and Implications, Water, 11(11), 2390; <https://doi.org/10.3390/w11112390>.
- Wang, F., Wang, Z., Yang, H., Zhao, Y., Zhang, Z., Li, Z., Hussain, Z. 2019. Copula-based drought analysis using Standardized Precipitation Evapotranspiration Index: A case study in the Yellow River Basin, China, Water, 11(6), 1298; <https://doi.org/10.3390/w11061298>.
- Wong, G., Lambert, M.F., Leonard, M., Metcalfe, A.V. 2010. Drought analysis using trivariate copulas conditional on climatic states. Journal of Hydrologic Engineering, 15(2): 129-141.
- Xu, Y. P., Booij, M. J., Tong, Y. B. 2010. Uncertainty analysis in statistical modeling of extreme hydrological events. Stochastic Environmental Research and Risk Assessment 24(5): 567–578.
- Zeleanhastic, E., Salvi, A. 1987. A method of stream flow drought analysis. Journal of Water Resources Research, 23(1): 156-168.
- Zhang, Q., Li, J., Singh, V. P., Xu, C.Y. 2012. Copula-based spatio-temporal patterns of precipitation extremes in China. International Journal of Climatology, 35(5): 1140-1152.



Multivariate analysis of meteorological droughts in Iran using Joint Deficit Index (JDI)

Z. Khani Temeliyeh¹, H. Rezaei^{2*}, R. Mirabbasi Najafabadi³

Received: 15/01/2020

Accepted: 16/06/2020

Abstract

Monitoring and prediction of drought, as a natural phenomenon, has a significant importance in water resource management and agricultural production. The purpose of this study is to analysis the meteorological droughts across Iran using the Joint Deficit Index (JDI) and its comparison with widely used SPI^{mod} index. For this purpose, the monthly precipitation data of 41 meteorological stations across Iran for the period of (1971-2017), were used in. The results showed that, the SPI^{mod} index can describe the seasonal variations of precipitation appropriately. On the other hand, the SPI^{mod} is sensitive to time scales, and may provide controversy results in different time scales. To overcome this limitation, the Joint Deficit Index (JDI) can be used, in which a joint distribution of SPI^{mod} indices with time scales of 1 to 12-month is created using copula functions. The results of the JDI application showed that, the number of dry months (i.e. JDI < 0) in the west, northwest, and some parts of Northern provinces of Iran were more than other parts of the country. In the next step, the drought characteristics including severity, duration and the time interval between two consequent events were extracted from the JDI index time series. The results indicated that the correlation coefficient between drought characteristics were greater than 0.7. For multivariate analysis of drought characteristics, the goodness of fit test of nine copula models was examined. Based on this test, the Farley- Gamble- Morgenstern copula was found to be as the best function for constructing the trivariate distribution for drought monitoring in study stations.

Keywords: Copula function, Drought Index, Joint distribution, Nested method



¹ Ph. D. Student in Water Resources Engineering, Department of Water Engineering, Faculty of Agriculture and Natural Resources, Urmia University, Urmia, Iran

² Professor, Department of Water Engineering, Faculty of Agriculture and Natural Resources, Urmia University, Urmia, Iran

(*Corresponding Author Email Address: h.rezaie@urmia.ac.ir)

³ Associate Professor, Department of Water Engineering, Faculty of Agriculture, Shahrood University, Shahrood, Iran

نحوه ارجاع مقاله:

خانی تمليه، ذ.، رضائي، ح.، ميرعباسي نجفآبادي، ر.، ۱۳۹۹. تحليل چندمتغيره خشکسالی‌های هواشناسی در ايران با استفاده از شاخص کمبود توأم (JDI). نشریه هواشناسی کشاورزی، ۸(۱)، ۲۶-۳۹. DOI: 10.22125/agmj.2020.215899.1088

Khani Temeliyeh, Z., Rezaei, H., Mirabbasi Najafabadi, R. 2020. Multivariate Analysis of Meteorological Droughts in Iran Using Joint Deficit Index (JDI). Journal of Agricultural Meteorology, 8(1), 26-39. DOI: 10.22125/agmj.2020.215899.1088